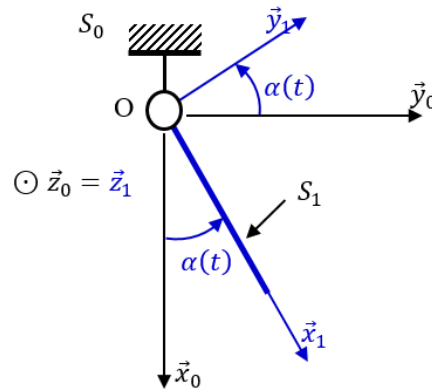


## TD Dynamique des solides indéformables :

### 1. Exercice 1 : (bras de robot)

Un robot est composé d'un seul bras  $S_1$  articulé au point  $O$  par rapport au bâti  $S_0$ .



Données :

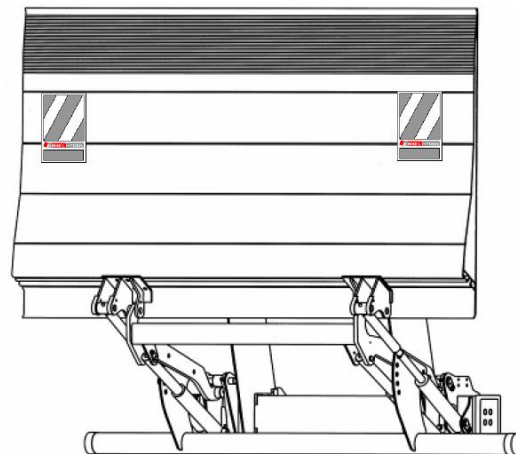
- Le bras  $S_1$  est de masse  $m_1$  et de matrice d'inertie  $[I_0(S_1)] = \begin{bmatrix} A & 0 & 0 \\ 0 & B & 0 \\ 0 & 0 & C \end{bmatrix}_{R_1}$  ;
- Le centre d'inertie  $G_1$  de  $S_1$  est donné par  $\overrightarrow{OG_1} = a\vec{x}_1$  ;
- La liaison pivot  $(O, \vec{z}_0)$  est parfaite ;
- Le champ de la pesanteur est modélisé par  $\vec{g} = g\vec{x}_0$
- Un servomoteur exerce un couple moteur  $\vec{C}_m = C_m\vec{z}_0$  sur le bras  $S_1$
- Le repère  $R_0$  est supposé galiléen.

Questions :

- Déterminer, dans la base du repère  $R_0$ , le torseur des actions mécaniques extérieures à  $S_1$ .
- Déterminer, dans la base du repère  $R_0$ , le torseur dynamique de  $S_1$  dans son mouvement par rapport à  $R_0$ .
- En appliquant le PFD, déduire les expressions des inconnues statiques de la liaison pivot  $(O, \vec{z}_0)$  ;
- Déduire l'équation de mouvement.

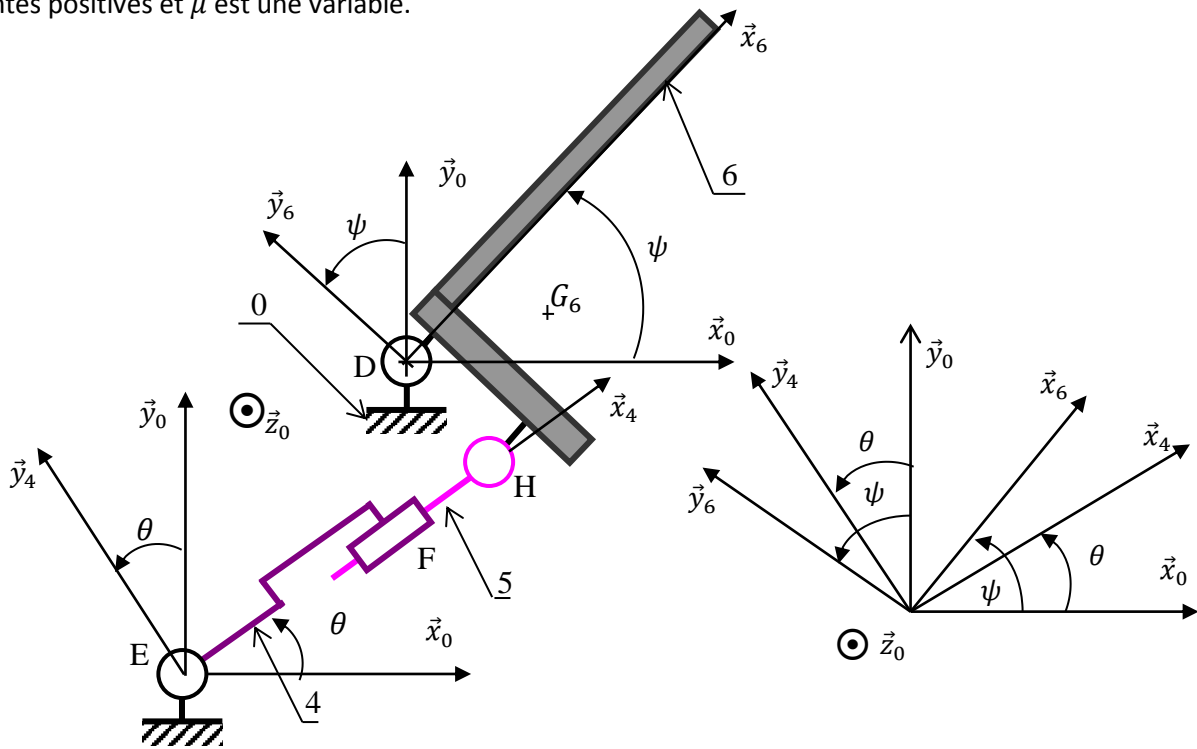
### 2. Exercice 2 (hayon d'un camion)

La figure suivante schématise le principe d'un hayon sur parallélogramme déformable. Ce système de manutention est constitué de deux vérins qui permettent l'ouverture, l'inclinaison et la fermeture du plateau. Il s'adapte à l'arrière du véhicule et est solidaire au châssis.



Le schéma cinématique suivant représente le système lors de l'opération d'ouverture ou de fermeture du plateau.

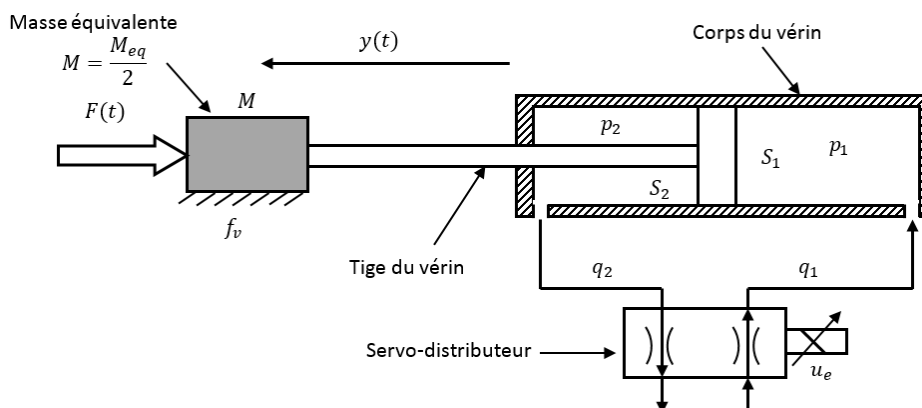
On donne  $\overline{ED} = e\vec{x}_0 + f\vec{y}_0$ ,  $\overline{HD} = h\vec{y}_6$ ,  $\overline{FH} = \mu\vec{x}_4$ ,  $\overline{EF} = d\vec{x}_4$  et  $\psi = (\vec{x}_0, \vec{x}_6) = (\vec{y}_0, \vec{y}_6)$  avec :  $e, f, h$  et  $d$  sont des constantes positives et  $\mu$  est une variable.



1. Exprimer dans la base de  $R_6$  la vitesse du centre d'inertie  $G_6$  du plateau 6 dans son mouvement par rapport à  $R_0$ .  $\vec{V}(G_6 \in 6/R_0)$  Sachant que  $\overline{DG_6} = x_G\vec{x}_6 + y_G\vec{y}_6$ .
2. Exprimer dans la base de  $R_6$  l'accélération du centre d'inertie  $G_6$  du plateau 6 dans son mouvement par rapport à  $R_0$ .  $\vec{\Gamma}(G_6 \in 6/R_0)$
3. Exprimer dans la base du repère  $R_6$  les éléments de réduction du torseur cinétique du plateau 6 dans son mouvement par rapport à  $R_0$  sachant que le plateau 6 est de masse  $m_6$  et admet une matrice d'inertie diagonale au point D et dans la base du repère  $R_6$  avec  $I_{D\vec{z}_0} = I$ .
4. Exprimer dans la base du repère  $R_6$  les éléments de réduction du torseur dynamique du plateau 6 dans son mouvement par rapport à  $R_0$ .
5. Exprimer au point D et dans la base du repère  $R_6$  les éléments de réduction du torseur d'actions mécaniques extérieures au plateau 6. On donne  $\vec{g} = -g\vec{y}_0$ , l'action mécanique de la tige du vérin 5 sur le plateau 6 est donnée par le torseur suivant  $\{F(5 \rightarrow 6)\}_H = \begin{Bmatrix} F_0\vec{x}_4 \\ 0 \end{Bmatrix}$  et on suppose que toutes les liaisons sont parfaites.
6. En appliquant le principe fondamental de la dynamique sur le plateau 6 dans son mouvement par rapport à  $R_0$  supposé galiléen, déterminer les inconnues d'actions mécaniques de la liaison pivot d'axe  $(D, \vec{z}_0)$  et exprimer l'effort  $F_0$  qu'exerce la tige de vérin 5 sur le plateau 6 en fonction de  $m_6, h, x_G, y_G, g, I, \psi, \ddot{\psi}$  et  $\theta$ .

**3. Exercice 3 (CNIM 2018 [https://lefiabdellaoui.files.wordpress.com/2018/05/cnim\\_si\\_2018\\_e.pdf](https://lefiabdellaoui.files.wordpress.com/2018/05/cnim_si_2018_e.pdf))**

Afin de mener l'étude d'asservissement de position et le contrôle de CSS (Closed Side Set), on isole le vérin  $V_1$ . Son comportement est modélisé à partir du modèle de structure donné par la figure suivante.



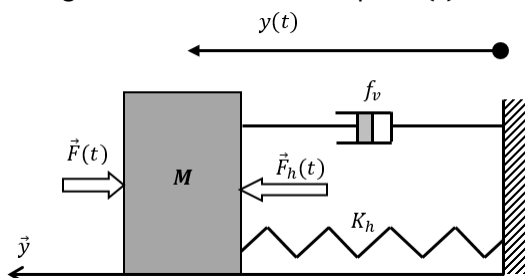
La position notée  $y(t)$  de la tige du vérin est fonction du débit d'huile  $q_1(t)$  à l'entrée de la chambre d'admission du vérin et la force due au concassage des roches  $F(t)$ . On se place dans l'hypothèse de petit déplacement autour d'un point de fonctionnement. Le système est donc supposé linéaire, continu et invariant.

On donne :

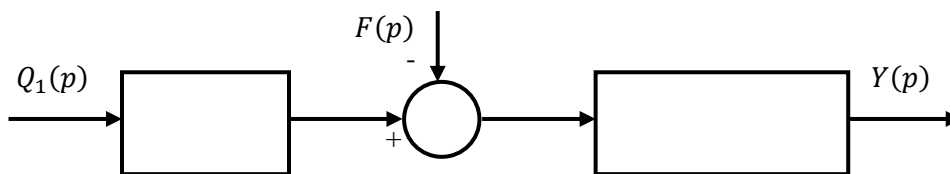
- $M = \frac{M_{eq}}{2} = 400Kg$  : masse équivalente ramenée sur l'axe du vérin  $V_1$  ;
- $f_v = 2 \cdot 10^6 Nm^{-1}s^{-1}$  : coefficient des frottements visqueux ;
- $K_h = 5 \cdot 10^6 N/m$  : raideur hydraulique du vérin ;
- $S_1 = 8 \cdot 10^{-3} m^2$  : aire de la section intérieure de la chambre d'admission ;
- $F(t)$  : effort variable due au concassage des roches.

Dans la figure suivante, le vérin est modélisé par un ressort de raideur  $K_h$  attaché à son extrémité à la masse équivalente  $M$ . Le bilan des efforts extérieurs est comme suit :

- Le ressort exerce une force de rappel  $\vec{T}_h(t) = -K_h y(t) \vec{y}$  ;
- Le servo-distributeur exerce une force hydraulique  $\vec{F}_h(t) = K_h \left( \int_0^t \frac{q_1(\tau)}{S_1} d\tau \right) \vec{y}$  ;
- La force due aux frottements visqueux est modélisée par  $\vec{F}_f = -f_v \frac{dy(t)}{dt} \vec{y}$  ;
- L'effort engendré par le concassage des roches est donné par  $\vec{F}(t) = -F(t) \vec{y}$  ;



1. En appliquant le théorème de la résultante dynamique en projection sur l'axe  $\vec{y}$ , déterminer l'équation de mouvement de la masse équivalente.
2. Traduire l'équation de mouvement dans le domaine de Laplace sachant que les conditions initiales sont supposées nulles. Compléter le schéma bloc suivant :



### Exercice 4 : Equilibrage d'un solide en rotation

#### Partie1 :

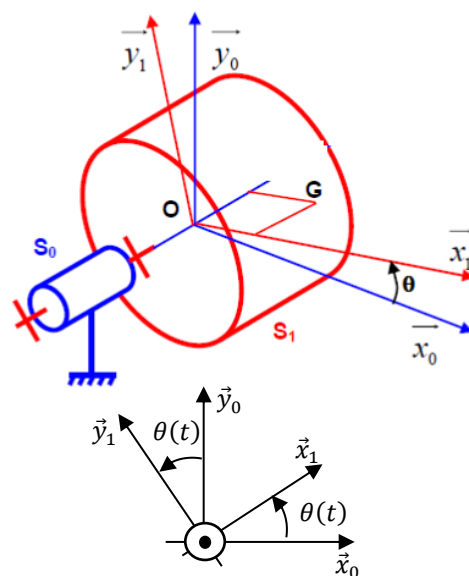
Soit un solide  $S_1$  de masse  $m$  et de centre d'inertie  $G$  en liaison pivot d'axe  $(O, \vec{z}_0)$  avec le bâti  $S_0$ . Ce solide ( $S_1$ ) est soumis à un couple moteur  $\vec{C}_m = C_m \vec{z}_0$ .

- Le repère  $R_0(O, \vec{x}_0, \vec{y}_0, \vec{z}_0)$  est lié à  $S_0$ , supposé galiléen.
- Le repère  $R_1(O, \vec{x}_1, \vec{y}_1, \vec{z}_0)$  est lié à  $S_1$ .
- $\theta = (\vec{x}_0, \vec{x}_1) = (\vec{y}_0, \vec{y}_1)$
- $\vec{OG} = a\vec{x}_1 - c\vec{z}_0$
- Le solide  $S_1$  est de masse  $m$
- La matrice d'inertie de  $S_1$  est donnée par la matrice suivante :

$$[I_0(S_1)] = \begin{bmatrix} A & -F & -E \\ -F & B & -D \\ -E & -D & C \end{bmatrix}_{R_1}$$

- L'accélération de la pesanteur est donnée par :  $\vec{g} = -g\vec{y}_0$

1. Déterminer l'accélération  $\vec{\Gamma}(G \in S_1/R_0)$ .
2. Déterminer le moment dynamique  $\vec{\delta}_O(S_1/R_0)$ .
3. Exprimer dans  $R_0$  le torseur dynamique  $\{D(S_1/R_0)\}_O$ .
4. Isoler  $S_1$  et Exprimer dans  $R_0$  le torseur des efforts extérieurs appliqués sur  $S_1$  au point  $O$ .



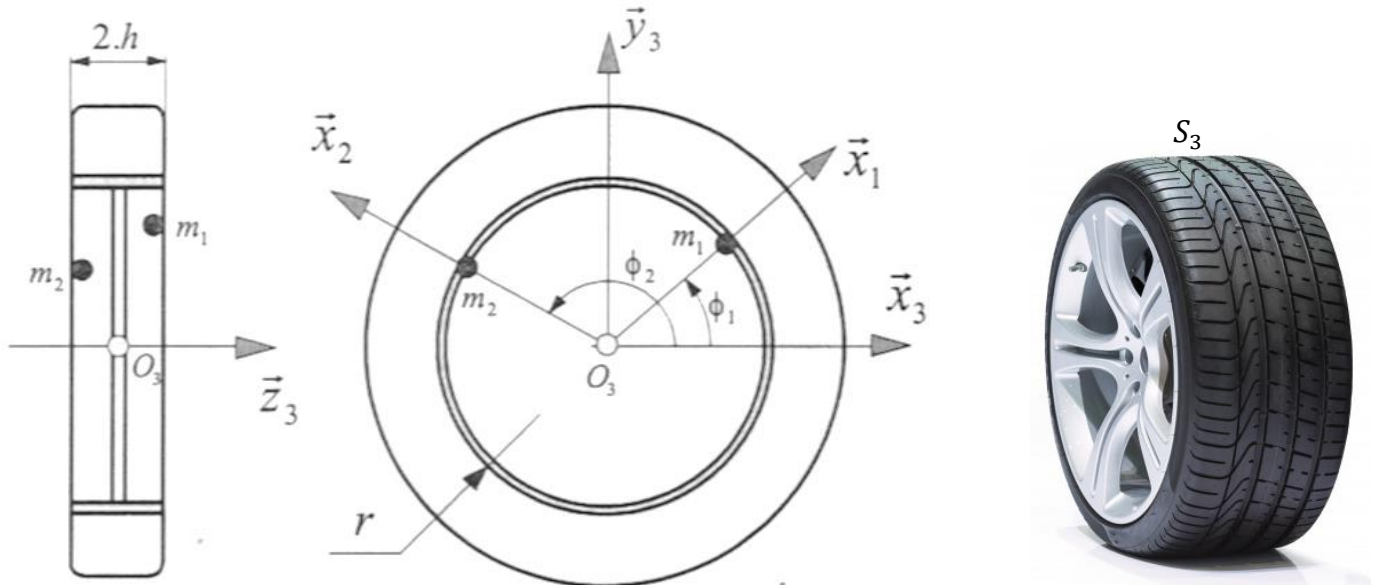
- Déterminer les 6 équations scalaires qui découlent du PFD appliqué à  $S_1$ .
- En déduire les 5 composantes du torseur statique de la liaison pivot entre  $S_1$  et  $S_0$ .
- Pour qu'il y ait équilibre, il faut que ces 5 composantes soient constantes. En déduire les valeurs de  $a, E$  et  $D$

### Partie 2 :

Nous avons montré dans la partie 1 que les conditions d'équilibre d'un solide conduisent à :

- **Équilibre statique : Ramener le centre d'inertie  $G$  de  $S_1$  sur l'axe de rotation**
- **Équilibre dynamique : Rendre l'axe de rotation un axe principal d'inertie**

On souhaite réaliser l'équilibre d'une roue  $S_3$  de véhicule (voir figure suivante) dont la symétrie de révolution n'est plus respectée.



Soient :

- Le repère  $R_3(O_3, \vec{x}_3, \vec{y}_3, \vec{z}_0)$  est lié à  $S_3$ .
- Le solide  $S_3$  est de masse  $m_3$  et de centre d'inertie  $G_3$  avec  $\overrightarrow{O_3G_3} = a\vec{x}_3 + b\vec{y}_3 + c\vec{z}_3$ .
- La matrice d'inertie de  $S_3$  est donnée par :

$$[I_{O_3}(S_3)] = \begin{bmatrix} A_3 & -F_3 & -E_3 \\ -F_3 & B_3 & -D_3 \\ -E_3 & -D_3 & C_3 \end{bmatrix}_{R_3}$$

Afin d'équilibrer une roue, on peut rajouter deux masselottes (masses ponctuelles),  $S_1$  de masse  $m_1$  et de centre  $G_1$  et  $S_2$  de masse  $m_2$  et de centre  $G_2$ . Ces deux masselottes sont fixées sur la jante, à un rayon  $r$ , de part et d'autre de la roue, à une distance  $h$  du plan de symétrie de la roue.

La position des deux masselottes est identifiée par deux repères  $R_1(O_3, \vec{x}_1, \vec{y}_1, \vec{z}_3)$  et  $R_2(O_3, \vec{x}_2, \vec{y}_2, \vec{z}_3)$ , repérés par les angles  $\phi_1$  et  $\phi_2$  tels que  $\phi_1 = (\vec{x}_3, \vec{x}_1)$  et  $\phi_2 = (\vec{x}_3, \vec{x}_2)$ .  $\phi_1$  et  $\phi_2$  sont des constantes.

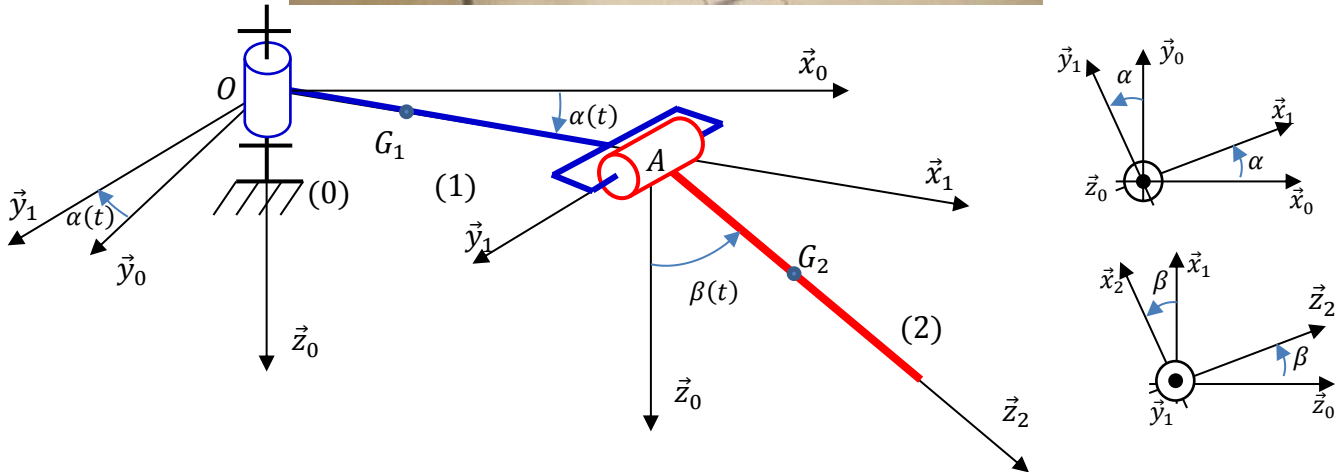
On appellera  $S$  le système composé par les trois solides  $S_1, S_2$  et  $S_3$ , de centre d'inertie  $G$  et de matrice d'inertie donnée par :

$$[I_{O_3}(S)] = \begin{bmatrix} A & -F & -E \\ -F & B & -D \\ -E & -D & C \end{bmatrix}_{R_3}$$

- Déterminer les coordonnées du vecteur  $\overrightarrow{O_3G}$  dans le repère  $R_3$ .
- Déterminer les deux équations scalaires traduisant la condition d'équilibre statique dans le repère  $R_3$ .
- Exprimer  $D$  et  $E$  en fonction des données géométriques du problème et des composantes de  $[I_{O_3}(S_3)]$ .
- Donner les deux équations scalaires traduisant la condition d'équilibre dynamique dans  $R_3$ .

### Exercice 5 : Centrifugeuse

La centrifugeuse est constituée par le bras 1 et d'une cabine 2. Le bras 1 est en liaison pivot d'axe  $(O, \vec{z}_0)$  avec le bâti 0. La cabine 2 est en liaison pivot d'axe  $(A, \vec{y}_1)$  avec le bras 1.



### Repères et paramétrages :

- Le repère  $R_0(O, \vec{x}_0, \vec{y}_0, \vec{z}_0)$  est lié au bâti 0.
- Le repère  $R_1(O, \vec{x}_1, \vec{y}_1, \vec{z}_0)$  est lié au bras 1 tel que  $(\vec{y}_0, \vec{y}_1) = (\vec{x}_0, \vec{x}_1) = \alpha(t) = \omega t$
- Le repère  $R_2(A, \vec{x}_2, \vec{y}_1, \vec{z}_2)$  est lié à la cabine 2 tel que  $(\vec{z}_0, \vec{z}_2) = (\vec{x}_1, \vec{x}_2) = \beta(t)$

### Caractéristiques géométriques et d'inertie :

- **Bras 1** : De centre d'inertie  $G_1$  tel que  $\overrightarrow{OG_1} = e\vec{x}_1$ , de moment d'inertie par rapport à  $(O, \vec{z}_0)$ , supposé moment principal d'inertie, est noté par  $I$  et  $\overrightarrow{OA} = a\vec{x}_1$  et de masse  $m_1$
- **Cabine 2** : De centre d'inertie  $G_2$  tel que  $\overrightarrow{AG_2} = b\vec{z}_2$ , de masse  $m_2$  et de matrice d'inertie :  $[I_A(2)] = \begin{bmatrix} A & 0 & 0 \\ 0 & B & 0 \\ 0 & 0 & C \end{bmatrix}_{(\vec{x}_2, \vec{y}_1, \vec{z}_2)}$

### Chargement :

- $\vec{g} = g\vec{z}_0$  : champ d'action de la pesanteur,
- Un moteur exerce un couple sur le bras (1). Cette action est modélisée par le torseur suivant :

$$\{F_{M \rightarrow 1}\} = \begin{Bmatrix} \vec{0} \\ C_m \vec{z}_0 \end{Bmatrix}_O$$

#### A- Cinématique :

1. Déterminer le torseur cinématique de la cabine 2 au point A dans son mouvement par rapport au bâti ;
2. Déterminer la vitesse du point  $G_2$ , centre d'inertie de la cabine 2, par rapport au repère lié au bâti.
3. Déterminer l'accélération du point  $G_2$ , centre d'inertie de la cabine 2, par rapport au repère lié au bâti.

#### B- Dynamique :

1. Donner le torseur cinétique de la cabine 2, au point A, dans son mouvement par rapport au bâti ;
2. Déterminer la projection sur l'axe  $\vec{y}_1$ , du moment dynamique de la cabine 2 au point A dans son mouvement par rapport au bâti ;
3. Déterminer la projection sur l'axe  $\vec{z}_0$  du moment dynamique de l'ensemble formé par la cabine 2 et le bras 1 au point O dans leur mouvement par rapport au bâti ;

4. Déterminer, au point A et dans la base du repère  $R_1(O, \vec{x}_1, \vec{y}_1, \vec{z}_0)$ , le torseur des actions mécaniques extérieures à la cabine 2 ;
5. Déterminer, au point 0 et dans la base du repère  $R_0(O, \vec{x}_0, \vec{y}_0, \vec{z}_0)$ , le torseur des actions mécaniques extérieures à l'ensemble S formé par le bras 1 et la cabine 2 ;
6. Déterminer les deux équations de mouvement de la centrifugeuse par rapport au repère  $R_0(O, \vec{x}_0, \vec{y}_0, \vec{z}_0)$ .